

側方拘束状態における粒状土の応力・ひずみ関係

長崎大学工学部 正員 萩谷英俊

同 同 植山 駿

同 学生員 ○井上和則

まえがき

砂地盤に荷重が作用した場合の沈下計算や粒状材料を用いた路床・路盤等における締固めの施工・管理においては、砂のような粒状土の応力・沈下関係が必要であり。しかもそれにはその主要因としての初期密度を考慮することが必要である。また側方拘束状態における砂のような粒状土の圧縮変形過程では、土粒子自身および個々の土粒子より成る骨格構造の弾性変形と土粒子間の摩擦による平衡状態の崩壊、すなわち土粒子間のすべりに伴ないより安定な位置へ土粒子が移動することによる塑性変形とが、その変形機構として混在し、さらに材料によっては土粒子自身の破碎も生じるであろう。従来、砂のような粒状材料の圧縮変形式については土質力学をはじめ、化粧工芸等の分野においても多くの実験的・理論的研究が成されているが、初期密度の影響について考慮しているものは少なく、また粒度などの材料の特性についても触れられていない。ところで土粒子集合体における圧縮変形は集合体中の単位体積に占める空隙量の減少の結果生じると考えられ、空隙量の減少より外部から供給される応力によって引き起こされ、さらに砂のような粒状土では時間の要素は無視できるくらい小さい。そこで本文では粒状土の圧縮変形を応力による空隙率(空隙率)の変化という立場から考え、初期密度の影響を考慮し、さらに材料の特性を含めた側方拘束状態における粒状土の応力とひずみの関係を各種の粒状土を用いて行った実験結果に基づき、考察を試みた。

試料および試験方法

試験に用いた試料は $2.0 \text{ mm} \sim 0.074 \text{ mm}$ の粒径を有する気乾状態の各種の粒状土である。(図-1) 供試体は直径 6.0 cm 、高さ 5.0 cm の圧密試験用容器にできるだけゆるい状態から密な状態まで6段階の初期密度に詰めて作成した。試験は通常の圧密試験機を用い、まず 0.05 kN/cm^2 の応力を加えて初期状態を設定し、荷重増加率 $\Delta/\Delta = 1$ の荷重段階で 12.8 kN/cm^2 まで載荷試験を行なった。載荷時間は各荷重段階とも10分であり、粒状土の場合には十分な時間である。

試験結果および考察

粒度の関係で野田崎砂のデータのみを図示し、その考え方を述べる。なおひずみとはすべて10分後の値を用いている。一般に粒状土の初期密度が大きくなると、その圧縮変形量は小さくなる。Schultz⁽¹⁾ らはある応力 σ におけるひずみ ϵ と初期空隙率 n_i との間に直線関係にあると述べている。ここでは土粒子集合体における圧縮変形はその集合体中の単位体積に占める空隙の量、すなわち空隙率(空隙率)に依存するとの考え方から、粒状土の状態を表すのに空隙率 $n = e/(1+e)$ を用いることにする。図-2は載荷応力 σ とパラメータとして、圧縮ひずみ ϵ と初期空隙率 n_i の関係を示すものであり、両者の間に良好な比例関係がある。すなわち各載荷応力に対して次式が得られる。 $\epsilon = a_j + b_j \cdot n_i \quad \dots \dots (1)$ ここに a_j , b_j は係数であり、添字 j は各載荷応力に対応する。ところで最密状態に達すれば、圧縮変形は土粒子自身および骨格構造の弾性変形のみとなり、きわ

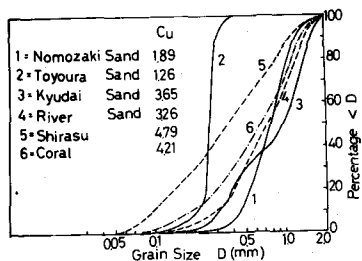


図-1 試験に用いた試料

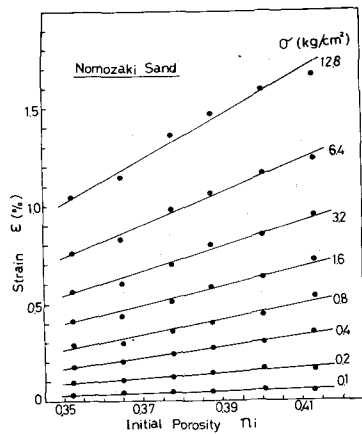


図-2 初期空隙率とひずみの関係

めて小さいものになると考えられるので、図-2の直線群はほぼ一束で交わることが予想される。図-2の直線群の係数 a_j , b_j を最小二乗法によって求め、(b, a) 座標に求わたものが図-3である。きわめて良好な直線関係にある。このことは(1)式で表わされる直線群が一束で交わり、また(b, a)座標における直線の傾きの逆符号および横軸(10軸)切片の値が、各々(1)式の直線群の交点の横座標(n_0 軸)および縦座標(ϵ 軸)の値に対応することを示している。この直線群の交点の座標と(n_0 , ϵ_0)とすると、(1)式は次のように表わすことができる。 $\epsilon = \epsilon_0 + (n_0 - n_0) \cdot b_j \dots \dots (2)$

(2)式の係数 b_j は図-2の各直線の傾きを表わすもので、応力への関数になると考えられ、一般に次のように表わすことができよう。

$$b_j = f(\alpha) \dots \dots (3) \quad \epsilon = \epsilon_0 + (n_0 - n_0) \cdot f(\alpha) \dots \dots (4)$$

結局(3)式きどりのような直線形で表示するかによって、種々の形の応力とひずみの関係が得られることになる。ところで砂の等方圧縮試験に対する Jakobson⁽²⁾ の実験結果等から推測して、(3)式は非線形になると考えられ、面内攢紙にプロットした結果が図-4である。応力への小さい範囲($\alpha < 0.4 \text{ kg/cm}^2$)を除くと、直線関係にあり、

$$b_j = d \cdot \alpha^\beta \dots \dots (5) \quad \text{従って } \epsilon = \epsilon_0 + (n_0 - n_0) \cdot d \cdot \alpha^\beta \dots \dots (6)$$

と表わすことができる。(6)式は応力へのひずみとの関係が面内攢紙上で初期密度さ/ラメーターとした直線群になることを示しており Schultz⁽³⁾ らの実験結果ともほぼ一致する。また、 $\epsilon_0 = 0$ となる場合には、これらの直線群は平行になる。なお応力が小さい場合、(5)式が成立せず、従って実験結果は(6)式の計算値から大きくなれてくるが、この原因の一つは側面摩擦の影響にあると考えられる。次に(2)式あるいは(4)式における n_0 , ϵ_0 についてであるが、表-1 は最小二乗法によって求めた各試料の n_0 , ϵ_0 の値を示している。 n_0 は図-2 から推察されるように最密状態に関係する材料定数であると考えられる。とくに野田崎砂、豊浦標準砂、九大砂といったごく普通の砂の n_0 の値が均一球の最密充填の間隙率 0.2595 にきわめて近い値であることは非常に興味深い。また ϵ_0 は粒度、粒度破碎などに関係する定数と考えられる。図-5 は ϵ_0 と均等係数 C_u の関係を片対数紙に求めたものであるが興味ある対応関係がみられる。すなわち、均等係数 C_u が 1 に近づくほど ϵ_0 の値は対数的に減少し、均一粒度の場合には $\epsilon_0 = 0$ とみなすことができよう。なお粒度破碎についてはその表示法に不明の点も多く、今後検討したい。

まとめ 側方拘束状態における粒状土の応力とひずみの関係は一般に(4)式で表示できると考えられるが、結局(3)式の表示法が問題である。ここでは(5)式で表わし、ある程度実験データを説明できることを示したが、この点について、さらに実験的・理論的考察を行ないたい。また材料の最密状態、粒度、破碎性などに関係があるとしている n_0 , ϵ_0 についても詳細な検討を加える必要があろう。

引用文献 (1) Schultz, E & A. Moussa: Proc. 5th. Int. Conf. SMFE, Vol 1,

1961, (2) Jakobson, B: Proc. 4th. Int. Conf. SMFE, Vol 1, 1957

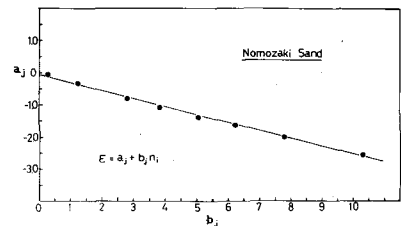


図-3 係数 a_j と b_j の関係

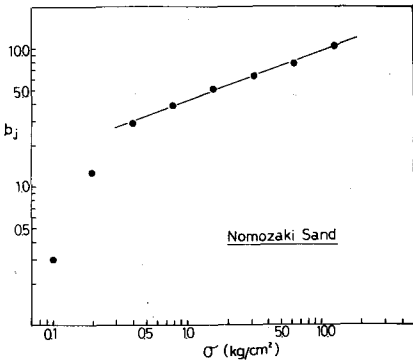


図-4 係数 b_j と応力への関係

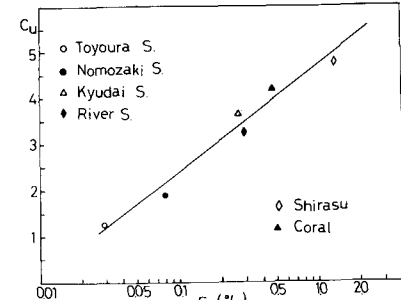


図-5 ϵ_0 と均等係数 C_u の関係

表-1 各試料の n_0 , ϵ_0

試料名	n_0	ϵ_0 (%)
野田崎砂	0.2464	0.078
豊浦標準砂	0.2662	0.029
九大砂	0.2459	0.267
川砂	0.3429	0.292
シラス	0.4809	1.321
コーラル	0.4545	0.476